

Powiększanie obrazu

zooming

dwukrotne powiększenie przy użyciu interpolatora zerowego rzędu

- przeplatamy wiersze i kolumny obrazu powiększanego wierszami i kolumnami zerowymi
 $M \cdot N \mapsto (2M) \cdot (2N)$

- przetwarzamy powiększony obraz za pomocą filtru liniowego o masce

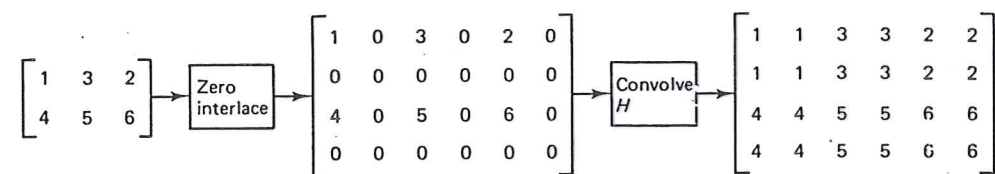
$$\begin{array}{|c|c|} \hline 1 & 1 \\ \hline 1 & 1 \\ \hline 1 & \\ \hline \end{array} = \begin{array}{|c|} \hline 1 \\ \hline 1 \\ \hline 1 \\ \hline \end{array} * \begin{array}{|c|c|} \hline 1 & 1 \\ \hline 1 & \\ \hline \end{array}$$

dwukrotne powiększenie przy użyciu interpolatora pierwszego rzędu (liniowego)

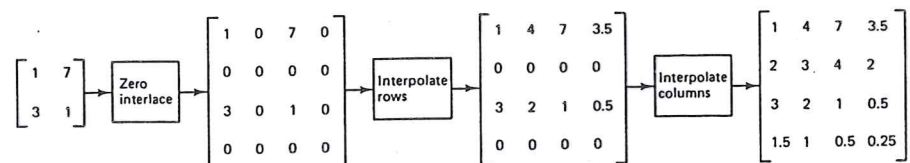
- uzupełniamy obraz zerowymi wierszami i kolumnami
- stosujemy filtr liniowy o masce

$$\begin{array}{|c|c|c|} \hline 1 & 2 & 1 \\ \hline 2 & 4 & 2 \\ \hline 1 & 2 & 1 \\ \hline 4 & & \\ \hline \end{array} =$$

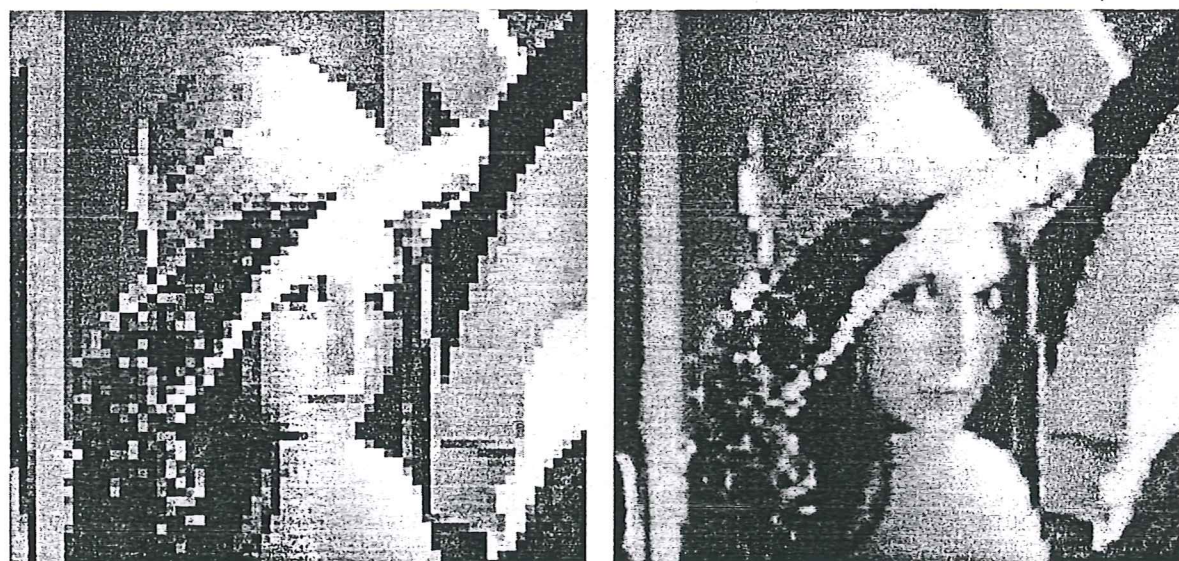
$$= \begin{array}{|c|} \hline 1 \\ \hline 2 \\ \hline 1 \\ \hline 2 \\ \hline \end{array} * \begin{array}{|c|c|c|} \hline 1 & 2 & 1 \\ \hline 2 & & \\ \hline \end{array}$$



a)



b)



Porównanie dwóch metod interpolacji - zerowego rzędu (a) oraz pierwszego rzędu (b)

Interpolacja obrazu w dowolnie wybranych punktach

Z twierdzenia o próbkowaniu wynika, że

$$f(x, y) = \sum_{m=-\infty}^{\infty} \sum_{n=-\infty}^{\infty} f(m\Delta x, n\Delta y) \cdot h(x - m\Delta x, y - n\Delta y)$$

$$f(m\Delta x, n\Delta y) \cdot$$

$$h(x - m\Delta x, y - n\Delta y)$$

gdzie

$$h(x, y) =$$

$$= \frac{\sin \frac{\pi x}{\Delta x}}{\frac{\pi x}{\Delta x}} \cdot \frac{\sin \frac{\pi y}{\Delta y}}{\frac{\pi y}{\Delta y}}$$

W praktyce zastępuje się ten filtr $h(x, y)$ filtrem dolnoprzepasowym typu FIR

metoda interpolacji biliniowej

bilinear interpolation

metoda wykorzystuje cztery
piksele położone najbliżej
punktu (x, y) :

$$m \Delta x \leq x \leq (m+1) \Delta x$$

$$n \Delta y \leq y \leq (n+1) \Delta y$$

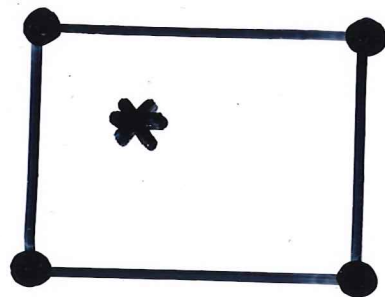
$$\hat{f}(x, y) =$$

$$= (1 - \delta_x)(1 - \delta_y) f(m, n)$$

$$+ (1 - \delta_x) \delta_y f(m, n+1)$$

$$+ \delta_x (1 - \delta_y) f(m+1, n)$$

$$+ \delta_x \delta_y f(m+1, n+1)$$



gdzie

$$\delta_x = \frac{x}{\Delta x} - m$$

$$\delta_y = \frac{y}{\Delta y} - n$$

metoda interpolacji wielomianowej

wybieramy lokalny obszar
tzw. pikseli podpierających
 Ω_{xy} . Jasność w punkcie
 (x, y) aproksymujemy za
pomocą wyrażenia

$$f(x, y) \cong \sum_{i=1}^k a_i \varphi_i(x, y)$$

gdzie

$$\varphi_1(x, y) = 1, \varphi_2(x, y) = x$$

$$\varphi_3(x, y) = y, \varphi_4(x, y) = x^2$$

$\varphi_5(x, y) = y^2$, $\varphi_6(x, y) = xy$
itp.

Stosując metodę najmniejszych kwadratów wyznaczamy oszacowania współczynników \hat{a}_i , $i = 1, \dots, k$

$$\sum_{m, n \in \Omega_{xy}}$$

$$\left[f(x, y) - \sum_{i=1}^k \hat{a}_i \varphi_i(x, y) \right]^2$$

$$\xrightarrow[\substack{x \in m \Delta x \\ y \in n \Delta y}]{\text{min}}$$

wyznaczamy ocenę jasności

$$\hat{f}(x, y) = \sum_{i=1}^k \hat{a}_i \varphi_i(x, y)$$

Zalety interpolacji wielomianowej:

- funkcja $\hat{f}(x, y)$ jest gładka
- jeżeli obszar Ω_{xy} obejmuje więcej niż k pikseli można osiągnąć pewną redukcję szumu
- łatwo jest wyznaczyć pochodne $\frac{\partial \hat{f}(x, y)}{\partial x}$ i $\frac{\partial \hat{f}(x, y)}{\partial y}$

wykorzystywane w algorytmach wykrywania krawędzi

Techniki drukarskie

Jak wydrukować obraz o wielu poziomach szarości?

binaryzacja

$$f(m, n) \in \{0, 1, \dots, L-1\}$$

$$g(m, n) \in \{0, 1\}$$

$$f(m, n) \xrightarrow{?} g(m, n)$$

$$g(m, n) =$$

$$= \begin{cases} 1 & f(m, n) \geq f_0 \\ 0 & f(m, n) < f_0 \end{cases}$$

gdzie f_0 jest odpowiednio wybranym progiem

adaptacyjny dobór progu

$$f_0(m, n)$$

- tworzymy lokalny histogram obrazu (tj. histogram dla obszaru $\Omega_{m,n}$ o środku w punkcie (m, n)); wybieramy próg $f_0(m, n)$ tak aby 5% - 50% pikseli miało jasność większą od f_0

lub

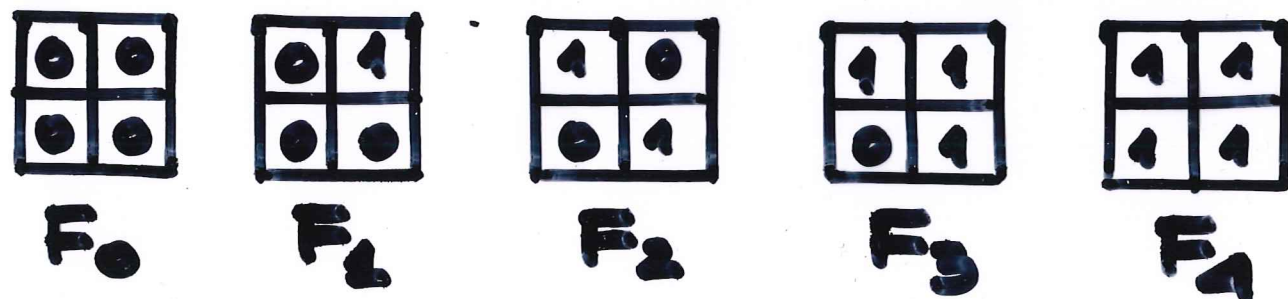
- korzystamy z zależności

$$f_0(m, n) =$$

$$= \frac{1}{2} \left[\max_{\Omega_{m,n}} \{f(m, n)\} + \min_{\Omega_{m,n}} \{f(m, n)\} \right]$$

mikrowzory

efekt modulacji jasności uzyskuje się poprzez zastosowanie tzw. fontów binarnych (greyscale binary fonts) czyli mikrowzorów



Przyjmijmy, że chcemy przekształcić obraz o L (np. 256) stopniach szarości w obraz potłonowany o K (subiektywnie postrzeganych) poziomach szarości (zazwyczaj $K \ll L$)

Załóżmy (dla uproszczenia) że $K = k^2 + 1$

Każdemu pikselowi w obrazie oryginalnym odpowiada w obrazie potłonowanym maczyca pikseli (mikrowzór) F_i o wymiarach $k \cdot k$

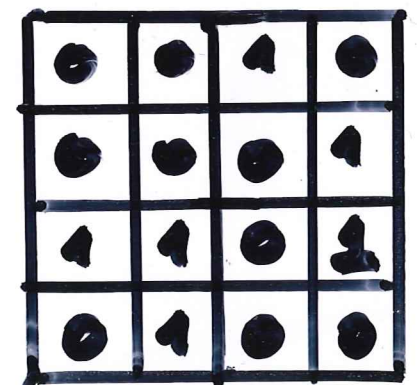
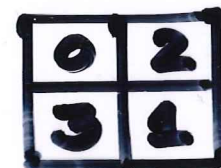
$$F =$$

$$F_i$$

$$\text{gdz } i \left[\frac{L}{K} \right] \leq f(m, n) \leq (i+1) \left[\frac{L}{K} \right]$$
$$i = 0, \dots, K-2$$

$$F_{K-1}$$

$$\text{gdz } (K-1) \left[\frac{L}{K} \right] \leq f(m, n) < L$$



Wada

W obszarach o stałej jasności powstają „falszywe” linie i kontury

technika roztrząsania

przed binaryzacją do oryginalnego obrazu dodawany jest szum pseudolosowy

dithering

podobny efekt uzyskuje się dokonując binaryzacji oryginału z progami wybieranym w sposób przypadkowy

pseudo-random thresholding

$$H_1 = \begin{bmatrix} 40 & 60 & 150 & 90 & 10 \\ 80 & 170 & 240 & 200 & 110 \\ 140 & 210 & 250 & 220 & 130 \\ 120 & 190 & 230 & 180 & 70 \\ 20 & 100 & 160 & 50 & 30 \end{bmatrix}$$

$$H_2 = \begin{bmatrix} 52 & 44 & 36 & 124 & 132 & 140 & 148 & 156 \\ 60 & 4 & 28 & 116 & 200 & 228 & 236 & 164 \\ 68 & 12 & 20 & 108 & 212 & 252 & 244 & 172 \\ 76 & 84 & 92 & 100 & 204 & 196 & 188 & 180 \\ \hline 132 & 140 & 148 & 156 & 52 & 44 & 36 & 124 \\ 200 & 228 & 236 & 164 & 60 & 4 & 28 & 116 \\ 212 & 252 & 244 & 172 & 68 & 12 & 20 & 108 \\ 204 & 196 & 188 & 180 & 76 & 84 & 92 & 100 \end{bmatrix}$$

Przykłady tapet
(halftone screens)
używanych w procesie
roztrząsania



a)



b)

Obraz oryginalny oraz
wyniki jego binaryzacji
z roztrząsaniem (a)
oraz bez roztrząsania (b)



a)



b)

Obraz oryginalny i dwa
obrazy pòttorowane: otrzy-
mane metoda, mikrowarów
(a) (10 fontów) oraz
metoda binaryzacji z
progowaniem losowym (b)